

## I- II- III 复合型裂缝应力强度因子与能量释放率的关系

曹晨曦,王向东,吴京

( 河海大学 力学与材料学院,江苏 南京 210098)

**摘要:**基于断裂力学理论,应用复合型断裂判据中的最大周向应力判据和最大拉应变判据,以单一型裂缝应力强度因子  $K$  与能量释放率  $G$  的关系为基础,推导出 I- II- III 复合型裂缝应力强度因子  $K_I$ 、 $K_{II}$ 、 $K_{III}$  与能量释放率  $G_{I-II-III}$  关系公式;并应用有限元软件进行 I- II- III 复合型裂缝的有限元模拟,模拟值与理论值之间相差为 1.14%,拟合良好,分析验证了复合型裂缝应力强度因子  $K_I$ 、 $K_{II}$ 、 $K_{III}$  与能量释放率  $G_{I-II-III}$  关系公式的合理性。

**关键词:**I- II- III 复合型裂缝;应力强度因子;能量释放率;有限元模拟

**中图分类号:**TV313

**文献标识码:**A

## Relationship between stress intensity factor and strain energy release rate of I- II- III mixed mode cracks

CAO Chenxi, WANG Xiangdong, WU Jing

( College of Mechanics and Materials, Hohai University, Jiangsu Nanjing 210098, China)

**Abstract:**Based on the theory of fracture mechanics, the maximum stress criterion and the maximum principal strain criterion, the relationship between stress intensity factor and strain energy release rate of I- II- III mixed mode cracks was studied. And the I- II- III mixed mode fracture cracks were simulated by using the finite element software. And the relative error between the simulated value and the theoretical value is , which is within the tolerance range. It is shown that the formula of the relationship between stress intensity factor and strain energy release rate of I- II- III mixed mode cracks is reasonable.

**Key words:**I- II- III mixed mode cracks; stress intensity factor; strain energy release rate; finite element simulation

断裂力学是研究带裂纹结构的强度以及裂纹扩展规律的一门学科。很多混凝土结构不可避免的会带缝工作,因此在对带缝混凝土结构的安全分析中,较重要的任务就是研究裂缝的稳定性,而对混凝土结构裂缝安全性分析主要是基于线弹性断裂力学中的  $K$  判据与  $G$  判据,即分为两种不同的方法:应力强度因子法和能量释放率法。在弹性范围内,应力强度因子  $K$  与能量释放率  $G$ ,是断裂力学中的两个重要断裂参数。因此不仅应该研究它们的计算方法,而且还应该研究二者之间的关系。目前,对单一型裂缝的强度因子  $K$  与能量释放率  $G$  的关系已有完善的研究和相应的理论公

式<sup>[1]</sup>,但在实际工程中,纯单一型裂缝很少,大多数结构所受的荷载都是多向复杂型的,裂缝也是复合型的,因此对于复合型裂缝应力强度因子  $K$  与能量释放率  $G$  关系的研究是有必要的。本文以带穿透缝的无限大平板为模型,基于最大应力准则和最大主应变准则,从断裂力学理论入手,并以单一型裂缝以及吴京等<sup>[2-6]</sup>推导出的 I- II 复合型裂缝、I- III 复合型裂缝和 II- III 复合型裂缝应力强度因子  $K$  与能量释放率  $G$  的关系的基础上,推导出 I- II- III 复合型裂缝应力强度因子  $K_I$ 、 $K_{II}$ 、 $K_{III}$  与能量释放率  $G_{I-II-III}$  的关系公式,并利用有限元软件对其进行分析验证。

收稿日期:2016-09-12

基金项目:国家自然科学基金资助项目(50878077);“十一五”国家科技支撑计划(2008BAB29B03)

作者简介:曹晨曦(1993-),女,江苏泰兴人,硕士,主要研究方向为工程断裂与损伤。

### 1 I-II-III 复合型裂缝 $K_I$ 、 $K_{II}$ 、 $K_{III}$ 与 $G_{I-II-III}$ 的关系

根据线弹性断裂力学理论, I-II-III 复合型裂缝可以分解为四种情况: I-II 复合型裂缝与 III 型裂缝叠加; II-III 复合型裂缝与 I 型裂缝叠加; I-III 复合型裂缝与 II 型裂缝叠加; I 型裂缝、II 型裂缝与 III 型裂缝叠加。由于 I 型和 II 型断裂问题属于平面问题, III 型断裂问题属于空间问题, 本文采用 I-II 复合型裂缝与 III 型裂缝叠加的方法来计算 I-II-III 复合型裂缝应力强度因子  $K_{I-II-III}$  与能量释放率  $G_{I-II-III}$  的关系。其应力场以及位移场公式由叠加原理得:

应力场:

$$\sigma_x = \frac{1}{\sqrt{2\pi r}} \left[ K_I \cos \frac{\theta}{2} \left( 1 - \sin \frac{\theta}{2} \sin \frac{3\theta}{2} \right) - K_{II} \sin \frac{\theta}{2} \left( 2 + \cos \frac{\theta}{2} \cos \frac{3\theta}{2} \right) \right] \quad (1)$$

$$\sigma_y = \frac{1}{\sqrt{2\pi r}} \left[ K_I \cos \frac{\theta}{2} \left( 1 + \sin \frac{\theta}{2} \sin \frac{3\theta}{2} \right) + K_{II} \sin \frac{\theta}{2} \cos \frac{\theta}{2} \cos \frac{3\theta}{2} \right] \quad (2)$$

$$\tau_{xy} = \frac{1}{\sqrt{2\pi r}} \left[ K_I \sin \frac{\theta}{2} \cos \frac{\theta}{2} \cos \frac{3\theta}{2} + K_{II} \cos \frac{\theta}{2} \left( 1 - \sin \frac{\theta}{2} \sin \frac{3\theta}{2} \right) \right] \quad (3)$$

$$\tau_{xz} = -\frac{K_{III}}{\sqrt{2\pi r}} \sin \frac{\theta}{2} \quad (4)$$

$$\tau_{yz} = \frac{K_{III}}{\sqrt{2\pi r}} \cos \frac{\theta}{2} \quad (5)$$

位移场:

$$2\mu u = \sqrt{\frac{r}{2\pi}} \left[ K_I \cos \frac{\theta}{2} \left( k - 1 + 2 \sin^2 \frac{\theta}{2} \right) + K_{II} \sin \frac{\theta}{2} \left( k + 1 + 2 \cos^2 \frac{\theta}{2} \right) \right] \quad (6)$$

$$2\mu v = \sqrt{\frac{r}{2\pi}} \left[ K_I \sin \frac{\theta}{2} \left( k + 1 - 2 \cos^2 \frac{\theta}{2} \right) + K_{II} \cos \frac{\theta}{2} \left( -k + 1 + 2 \sin^2 \frac{\theta}{2} \right) \right] \quad (7)$$

$$w = \frac{K_{III}}{\mu} \sqrt{\frac{r}{2\pi}} \sin \frac{\theta}{2} \quad (8)$$

由功的叠加原理可得 I-II-III 复合型裂缝扩展所做的功等于 I-II 复合型裂缝扩展所做的功、III 型裂缝扩展所做的功及 I-II 复合型裂缝在 III 型裂缝扩展方向所做的功和 III 型裂缝在 I-II 复合型裂缝扩展方向所做的功之和。

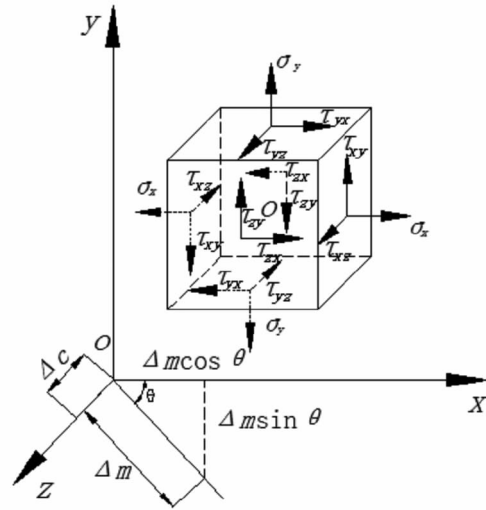


图1 I-II-III复合型裂缝尖端局部区域0点处应力单元体

Fig.1 Stress element at the point 0 in partial area of I-II-III mixed mode crack tip

如图1所示, I-II 复合型裂缝在其扩展方向上扩展的长度为  $\Delta m$ ,  $\theta$  为 I-II 复合型裂缝的开裂角; 纯 III 型裂缝在其扩展方向上扩展的长度为  $\Delta c$ , 其开裂角  $\theta$  等于 0。则裂缝开裂时所需要的能量为:

$$\begin{aligned} W_{I-II-III} &= \int_0^{\Delta m \cos \theta} \sigma_x u B dx + \int_0^{\Delta m(-\sin \theta)} \sigma_y v B dy + \\ &\int_0^{\Delta m \cos \theta} \tau_{yx} u B dx + \int_0^{\Delta m(-\sin \theta)} \tau_{xy} v B dy + \\ &\int_0^{\Delta c} \tau_{yz} \omega \Delta b dz + \int_0^{\Delta c} \tau_{z y} \omega \Delta b dz + \\ &\int_0^{\Delta m(-\sin \theta)} \tau_{zy} v B dy + \int_0^{\Delta m \cos \theta} \tau_{zx} u B dx \\ &= \int_0^{\Delta m \cos \theta} c_1 \frac{1}{2\pi} \frac{2\Delta c}{\mu} \sqrt{\frac{\Delta m - x}{x}} dx + \\ &\int_0^{\Delta m(-\sin \theta)} c_2 \frac{1}{2\pi} \frac{2\Delta c}{\mu} \sqrt{\frac{\Delta m - y}{y}} dy \\ &+ \int_0^{\Delta m \cos \theta} c_3 \frac{1}{2\pi} \frac{2\Delta c}{\mu} \sqrt{\frac{\Delta m - x}{x}} dx + \\ &\int_0^{\Delta m(-\sin \theta)} c_4 \frac{1}{2\pi} \frac{2\Delta c}{\mu} \sqrt{\frac{\Delta m - y}{y}} dy + \frac{K_{III}^2 \Delta c \Delta m}{2\mu} \end{aligned}$$

$$= \frac{b_1(c_1+c_3)}{\pi} \cdot \frac{\Delta c \Delta m}{\mu(1+\nu')} + \frac{b_2(c_2+c_4)}{\pi} \cdot \frac{\Delta c \Delta m}{\mu(1+\nu')} + \frac{K_{III}^2 \Delta c \Delta m}{2\mu} = g(\theta, K_I, K_{II}) \frac{2\Delta c \Delta m}{E} + \frac{(1+\nu')K_{III}^2 \Delta c \Delta m}{E} \quad (9)$$

其中,

$$g(\theta, K_I, K_{II}) = \frac{b_1(c_1+c_3)+b_2(c_2+c_4)}{\pi} \quad (10)$$

由  $G_{I-II-III} = \frac{\partial W^{[7]}}{\partial A}$  得:

$$G_{I-II-III} = \frac{\partial W}{\partial A} = \frac{\partial W}{\partial(\Delta c \Delta m)} = g(\theta, K_I, K_{II}) \frac{2}{E} + \frac{(1+\nu')K_{III}^2}{E} \quad (11)$$

其中,

$$b_1 = \frac{1}{2} \sin(2 \arccos \sqrt{\cos \theta}) - \arccos \sqrt{\cos \theta} + \frac{\pi}{2} \quad (12)$$

$$b_2 = \frac{1}{2} \sin(2 \arccos \sqrt{-\sin \theta}) - \arccos \sqrt{-\sin \theta} + \frac{\pi}{2}$$

$c_i$  为与扩展角  $\theta$  有关的函数,  $i=1, 2, 3, 4$ , 具体算式如下:

$$c_1 = \left[ K_I \cos \frac{\theta}{2} \left( 1 - \sin \frac{\theta}{2} \sin \frac{3\theta}{2} \right) - K_{II} \sin \frac{\theta}{2} \left( 2 + \cos \frac{\theta}{2} \cos \frac{3\theta}{2} \right) \right] \cdot \frac{1}{2} + \left[ K_I \cos \frac{\beta}{2} \left( -1 + \nu' + (1 + \nu') \sin^2 \frac{\beta}{2} \right) + K_{II} \sin \frac{\beta}{2} \left( 2 + (1 + \nu') \cos^2 \frac{\beta}{2} \right) \right]$$

$$c_2 = \left[ K_I \cos \frac{\theta}{2} \left( 1 + \sin \frac{\theta}{2} \sin \frac{3\theta}{2} \right) + K_{II} \sin \frac{\theta}{2} \cos \frac{\theta}{2} \cos \frac{3\theta}{2} \right] \cdot \frac{1}{2} + \left[ K_I \sin \frac{\beta}{2} \left( 2 - (1 - \nu') \cos^2 \frac{\beta}{2} \right) + K_{II} \cos \frac{\beta}{2} \left( -1 + \nu' + (1 + \nu') \sin^2 \frac{\beta}{2} \right) \right]$$

$$c_3 = \left[ K_I \sin \frac{\theta}{2} \cos \frac{\theta}{2} \cos \frac{3\theta}{2} + K_{II} \cos \frac{\theta}{2} \left( 1 - \sin \frac{\theta}{2} \sin \frac{3\theta}{2} \right) \right] \cdot \frac{1}{2} + \left[ K_I \cos \frac{\beta}{2} \left( -1 + \nu' + (1 + \nu') \sin^2 \frac{\beta}{2} \right) + K_{II} \sin \frac{\beta}{2} \left( 2 + (1 + \nu') \cos^2 \frac{\beta}{2} \right) \right] \quad (13)$$

$$c_4 = \left[ K_I \sin \frac{\theta}{2} \cos \frac{\theta}{2} \cos \frac{3\theta}{2} + K_{II} \cos \frac{\theta}{2} \left( 1 - \sin \frac{\theta}{2} \sin \frac{3\theta}{2} \right) \right] \cdot \frac{1}{2} + \left[ K_I \sin \frac{\beta}{2} \left( 2 - (1 - \nu') \cos^2 \frac{\beta}{2} \right) + K_{II} \cos \frac{\beta}{2} \left( -1 + \nu' + (1 + \nu') \sin^2 \frac{\beta}{2} \right) \right]$$

其中  $\beta = -\theta + \pi$ 。

式(11)即为 I-II-III 复合型裂缝应力强度因子  $K_I, K_{II}, K_{III}$  与能量释放率  $G_{I-II-III}$  的关系式。

## 2 I-II-III 复合型裂缝 $K_I, K_{II}, K_{III}$ 与 $G_{I-II-III}$ 关系的验证

### 2.1 公式的退化分析验证

当  $K_{II} = 0, \theta = 0, K_{III} = 0$ , 且取平面应力状态时, 则 I-II-III 复合型裂缝退化为纯 I 型裂缝, 公式(1-11)可以简化为:

$$G_{I-II-III} = \frac{K_I^2}{E}, \text{与纯 I 型裂缝的 } K \text{ 与 } G \text{ 关系相同, 验证了公式的合理性。}$$

当  $K_I = 0, K_{III} = 0$ , 且取平面应力状态时, 则 I-II-III 复合型裂缝退化为纯 II 型裂缝, 公式(11)可以简化为:

$$G_{I-II-III} = f(\theta) \frac{2K_{II}^2}{E}, \text{与纯 II 型裂缝的 } K \text{ 与 } G \text{ 关系相同, 验证了公式的合理性。}$$

当  $K_I = 0, K_{II} = 0$ , 且取平面应力状态时, 则 I-II-III 复合型裂缝退化为纯 III 型裂缝, 公式(11)可以简化为:

$$G_{I-II-III} = \frac{K_{III}^2(1+\nu')}{E}, \text{与纯 III 型裂缝的 } K \text{ 与 } G \text{ 关系相同, 验证了公式的合理性。}$$

### 2.2 有限元分析验证

以带有中心穿透裂缝的结构作为研究对象,应用有限元分析软件 ANSYS 建立 I-II-III 复合型裂缝计算模型。有限大板的长度为 10 m,宽度为 4 m,中心穿透裂缝长为 0.5 m,厚度为 1 m,面上的拉应力为 1 MPa,面内的剪应力以及面外的剪应力都为 1 MPa,其荷载和约束情况如图 1 所示。泊松比为 0.167,弹性模量取 21 GPa,裂缝尖端设置了 24 个奇异点,裂缝尖端局部区域网格见图 2。

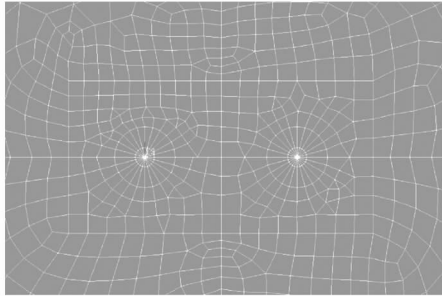


图2 裂缝尖端局部区域网格  
Fig.2 Partial diagram of crack tip

经过有限元软件计算后,得到了 I-II-III 复合型裂缝的应力图以及应力强度因子  $K$  和能量释放率  $G$  的数值,图 3 裂缝尖端区域处应力图。

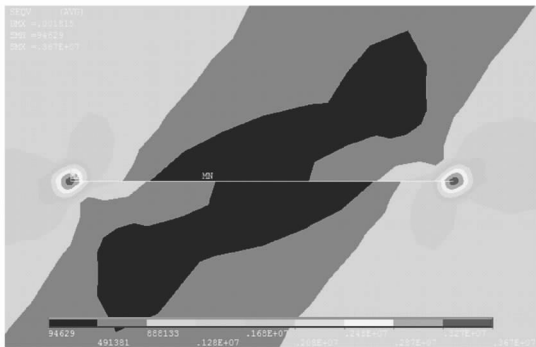


图3 I-II-III复合型裂缝尖端区域处应力图(Pa)  
Fig.3 Stress diagram in partial area of I-II-III mixed mode crack tip(Pa)

通过有限元软件计算得:I型裂缝应力强度因子  $K_I = 0.95 \text{ MPa} \cdot \text{m}^{1/2}$ , II型裂缝应力强度因子  $K_{II} = 0.81 \text{ MPa} \cdot \text{m}^{1/2}$ , III型裂缝应力强度因子  $K_{III} = 0.94 \text{ MPa} \cdot \text{m}^{1/2}$ , 能量释放率  $G_{I-II-III}^{\text{有限元}} = 128.3 \text{ N/m}$ 。将  $K_I, K_{II}, K_{III}$  代入式(11), 计算得  $G_{I-II-III}^{\text{公式}} = 129.7 \text{ N/m}$ ,  $G_{I-II-III}^{\text{有限元}}$  与  $G_{I-II-III}^{\text{公式}}$  之间的绝对误差为 1.4 N/m, 相对误差为 1.14%, 小于 5%, 验证了式(11)的合理性。

### 3 工程实例

在某压力容器筒体上有一长为  $2a = 0.2 \text{ m}$  的穿透性长裂纹,与筒体周线的倾角为  $\beta = 45^\circ$ ,筒体壁厚为  $t = 0.1 \text{ m}$ ,半径为  $R = 5 \text{ m}$ ,压力  $p = 0.02 \text{ MPa}$ 。如图 4 所示,取裂缝周围一有限大板进行受力分析。

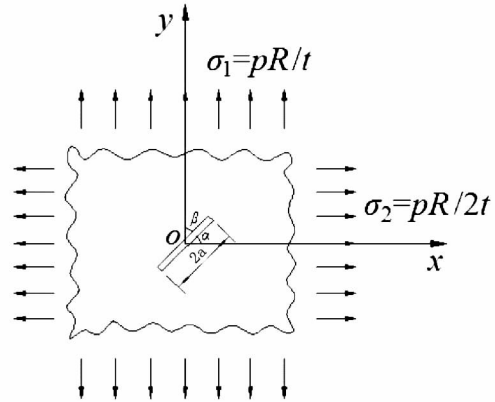


图4 压力容器壁上斜裂纹附近区域受力图  
Fig.4 Force of oblique crack on pressure vessel wall

根据材料力学的应力状态理论,

$$\sigma_1 = \frac{pR}{t}, \sigma_2 = \frac{pR}{2t}$$

可以求得垂直于裂纹线的正应力为

$$\begin{aligned} \sigma_\beta &= \frac{1}{2}(\sigma_1 + \sigma_2) - \frac{1}{2}(\sigma_1 - \sigma_2) \cos 2\beta = \\ &= \frac{pR}{4t}(3 - \cos 2\beta) = \frac{3pR}{4t} = 0.25 \text{ MPa} \end{aligned}$$

相应的剪应力为

$$\begin{aligned} \tau_\beta &= \frac{1}{2}(\sigma_1 - \sigma_2) \sin 2\beta = \frac{pR}{4t} \sin 2\beta \\ &= \frac{pR}{4t} = 0.25 \text{ MPa} \end{aligned}$$

且有

$$\begin{aligned} K_I &= \sigma \sqrt{\pi a} = 0.42 \text{ MPa} \cdot \text{m}^{1/2} \\ K_{II} &= \tau \sqrt{\pi a} = 0.14 \text{ MPa} \cdot \text{m}^{1/2} \\ K_{III} &= 0 \end{aligned}$$

由最大周向应力理论可得,开裂角  $\theta_0 = -31.37^\circ$  [18]。

取参数  $\nu = 0.25, E = 2.1 \times 10^4 \text{ MPa}$ , 将  $K_I = 0.42 \text{ MPa} \cdot \text{m}^{1/2}, K_{II} = 0.14 \text{ MPa} \cdot \text{m}^{1/2}, K_{III} = 0$  代入式(11)得  $G_{I-II-III} = 7.6 \text{ N/m}$ , 查阅文献 [9] 得  $K_{Ic} = 0.5 \text{ MPa} \cdot \text{m}^{1/2}, K_{IIc} = 0.35 \text{ MPa} \cdot \text{m}^{1/2}$  同上代入式(11)得混凝土的临界能量释放率  $G_c = 18.2 \text{ N/m}$ 。显然,  $G_{I-II-III} < G_c$ , (下转第 21 页)

- [4] VAN GENUCHTEN R. Predicting the hydraulic conductivity of unsaturated soils [J]. Soil Sci. Soc. Am. J., 1980(44): 892 - 898.
- [5] 武海霞, 张铮, 王洪义. 东北黑土区非饱和土壤水分运动数值模拟研究[J]. 河北工程大学学报: 自然科学版, 2010, 27(2): 60 - 62.
- [6] MUKHLISIN M, BAIDILLAH M R. Effect of soil hydraulic Properties model on slope stability analysis based on strength reduction method. [J]. Journal of the Geological Society of India, 2014, 83(5): 586 - 594.
- [7] 范严伟, 邓燕, 王波雷. 土壤水分特征曲线 VG 模型参数求解对比研究[J]. 人民黄河, 2008, 30(5): 49 - 50.
- [8] 彭建平, 邵爱军. 基于 Matlab 方法确定 VG 模型参数[J]. 水文地质工程地质, 2006, 6(7): 25 - 28.
- [9] 伊盼盼, 牛圣宽, 柳燕子. 非饱和土的土水特征曲线测试方法研究[J]. 中国农村水利水电, 2016(1): 125 - 128.
- [10] 李峰, 缴锡云. 田间土壤水分特征曲线参数反演[J]. 河海大学学报: 自然科学版, 2009, 37(4): 374 - 377.
- [11] 刘小文, 叶云雪. 不同和影响因素下非饱和红土土-水特征曲线的实验研究[J]. 水文地质工程地质, 2015, 42(2): 97 - 104.
- [12] TH, M, VAN GENUCHTEN. A closed - form equation for predicting the hydraulic of conductivity of unsaturated soils. [J]. Soil Sci. Soc. Am. J., 1980(44): 892 - 898.
- [13] BROOKS R. H, COREY A. T. PROPER properties of porous media affecting fluid flow [J]. J. Irrig. Drainage Div., ASCE Proc, 1966, 72(2): 61 - 88.

(责任编辑 李军)

(上接第 13 页) 裂缝处于稳定状态, 结构处于安全状态, 即本文所推导式(11)合理且有实际意义。

#### 4 结论

基于最大应力准则和最大主应变准则, 利用功的叠加原理, 推导出线弹性条件下 I - II - III 复合型裂缝  $K$  与  $G$  的关系。并对推导出的关系式进行了退化分析, 验证了公式的合理性。利用有限元软件建立带有中心穿透缝的板模型, 用有限元软件中计算所得的应力强度因子  $K_I$ 、 $K_{II}$ 、 $K_{III}$  代入推导所得的公式中计算出能量释放率  $G_{I-II-III}^{公式}$ , 通过公式计算得到的  $G_{I-II-III}^{公式}$  与有限元软件中得到的能量释放率  $G_{I-II-III}^{有限元}$  进行比较,  $G_{I-II-III}^{有限元}$  与  $G_{I-II-III}^{公式}$  之间的相对误差为 1.14%, 小于 5%, 表明本文推导的 I - II - III 复合型裂缝应力强度因子  $K_I$ 、 $K_{II}$ 、 $K_{III}$  与能量释放率  $G_{I-II-III}$  的合理性。

#### 参考文献:

- [1] 王铎. 断裂力学[M]. 哈尔滨: 哈尔滨工业出版社, 1989.
- [2] 吴京. 复合型裂缝应力强度因子和能量释放率的关系[J]. 济南大学学报: 自然科学版, 2014, 28(6): 425 - 428.
- [3] 刘梦和. I - II 复合型裂缝应力强度因子和应变能释放率的关系[J]. 水利水电科技进展, 2012, 32(6): 31 - 33.
- [4] 邵兵. 空间复合型裂缝的性能参数[J]. 水利水电科技进展, 2012, 32(5): 52 - 55.
- [5] KAPLAN M. F. Crack propagation and the fracture of concrete [J]. Journal of the American Concrete Institute, 1961, 58(5): 591 - 610.
- [6] RICE J. R. Limitations to the small scale yielding approximation for crack tip plasticity [J]. Journal of the Mechanics and Physics of Solids, 1974, 22(1): 17 - 26.
- [7] 赵建生. 断裂力学及断裂物理[M]. 武汉: 华中科技大学出版社, 2003.
- [8] 洪启超. 工程断裂力学基础[M]. 上海: 上海交通大学出版社, 1987.
- [9] 吴智敏. 混凝土断裂韧度及临界裂缝尖端张开位移——基于虚拟裂缝模型的分析[J]. 三峡大学学报: 自然科学版, 2002, 24(1): 29 - 34.

(责任编辑 李军)